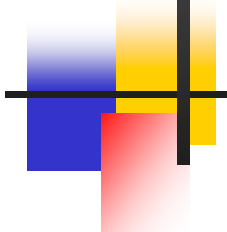
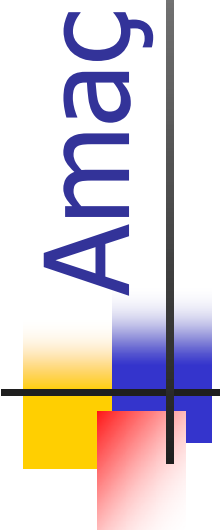


CMOS CDTA ile 7. Dereceden Eliptik Filtre



Alphan ŞAHİN

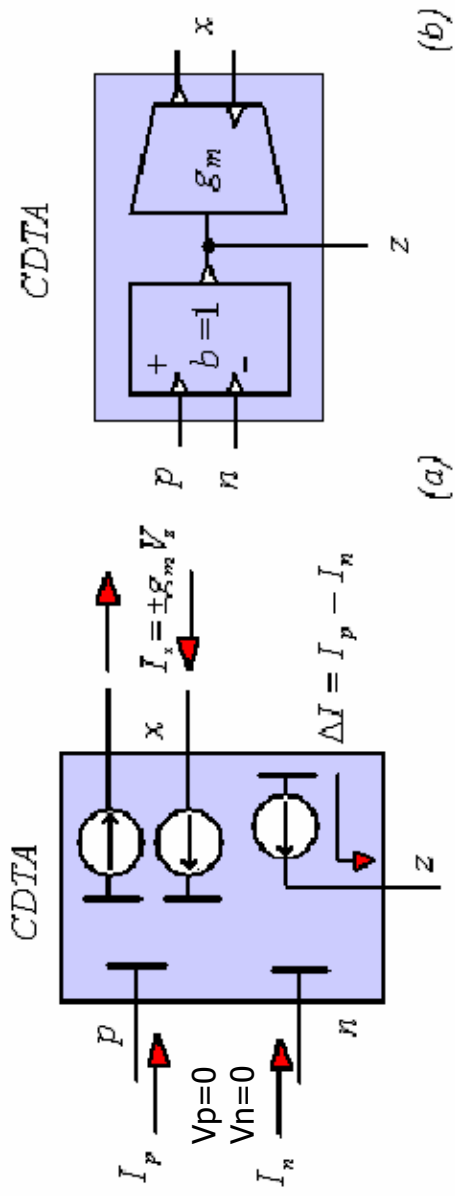
25.04.2007



Amaç

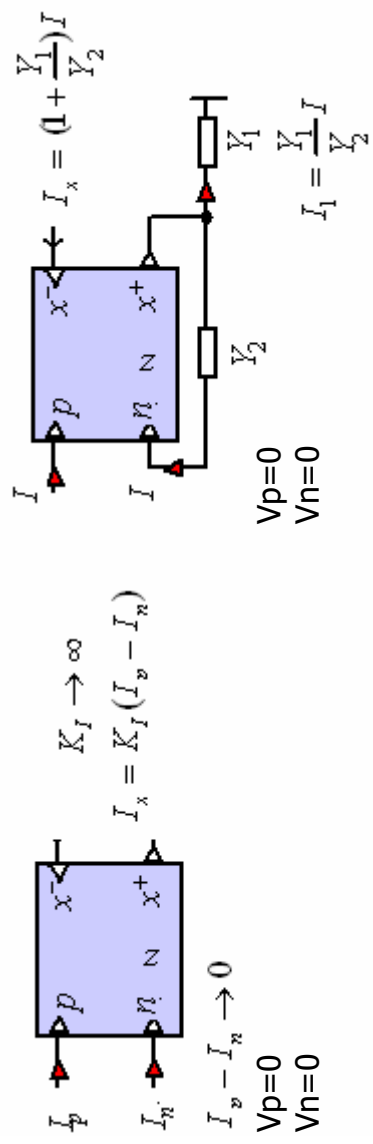
- ITU BT601 standartına uygun olması.
- Bandgenişliği 5.75MHz olması.(LPF)
- Geçirme bandında en fazla 0.1dB lik salınıma sahip olması.
- 45dB@8MHz den daha fazla bir zayıflama göstermesi.
- Video işlemede kullanılabilmesi (anti-aliasing için)
- Bu filtre tasarımını CDTA elemanı ile gerçekleştirmesi.

CDTA elemanı nedir?



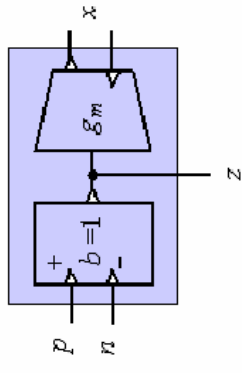
- Bu eleman bir akım kuyvetlendiricisidir.
- Akım modlu bir elemandır. Düşük gerilimlerde çalışma uygundur.
- Giriş uçları düşük empedanslı olduğu için yüksek frekans kutupları oluşmayacağı.
- Z ucuna bir ucu topraklanmış birden çok eleman bağlanabildiğiinden prosese bağlı sorunlar açısından iyidir.
- İç yapısı basittir.

CDTA ile ilgili Örnek

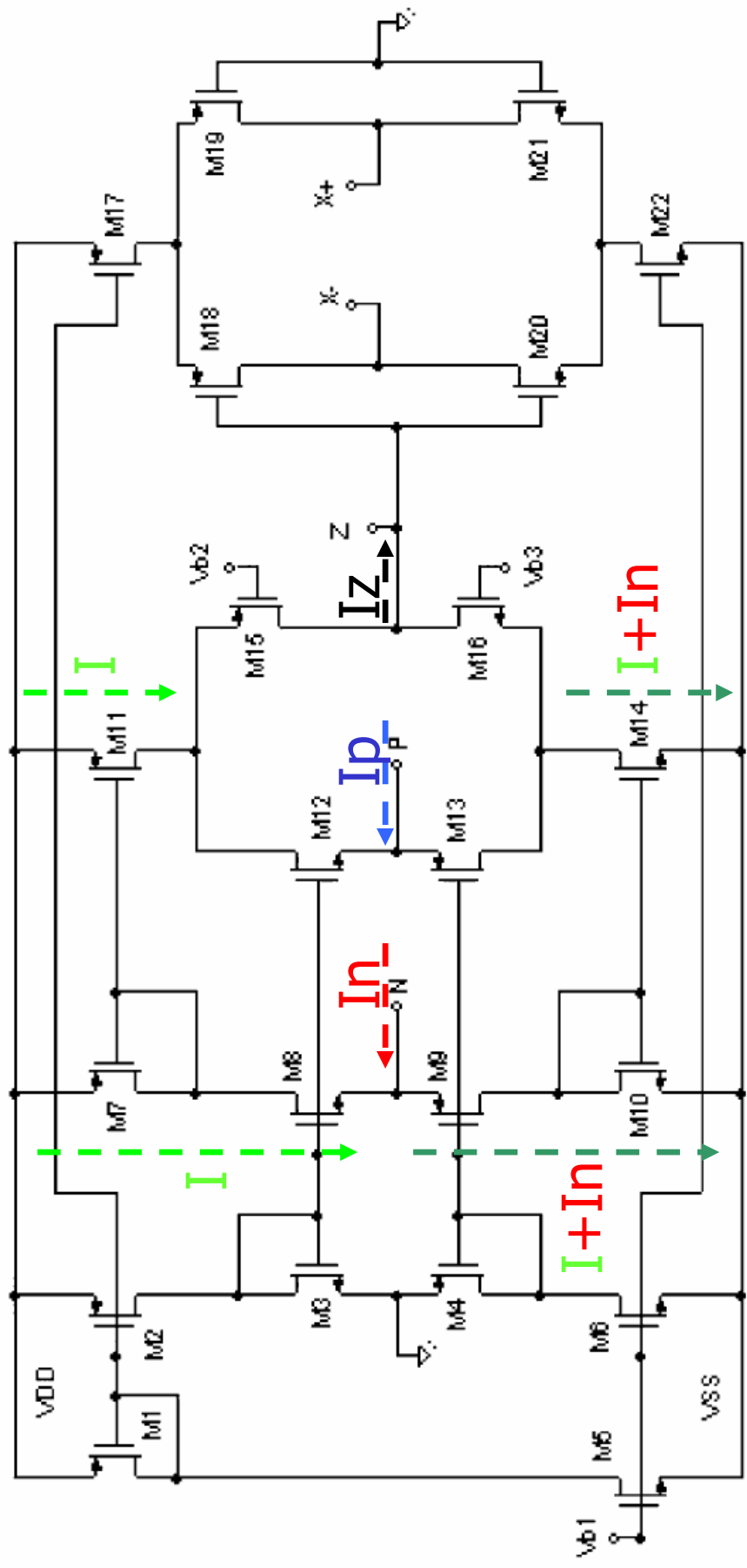


- Z ucu boşta bırakıldığı zaman, bu eleman açık çevrim çalışan bir akım kuvvetlendiricisine dönüşür.
- Aynı gerilim kuvvetlendiricisinde olduğu gibi, negatif geri besleme yapılarak I_x akımının değerini belirlenebilir.

CDTA

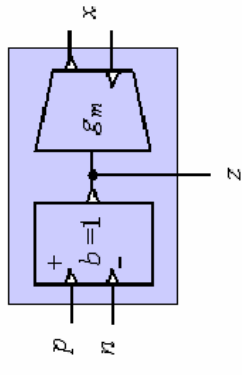


CDTA'nın iç yapısı

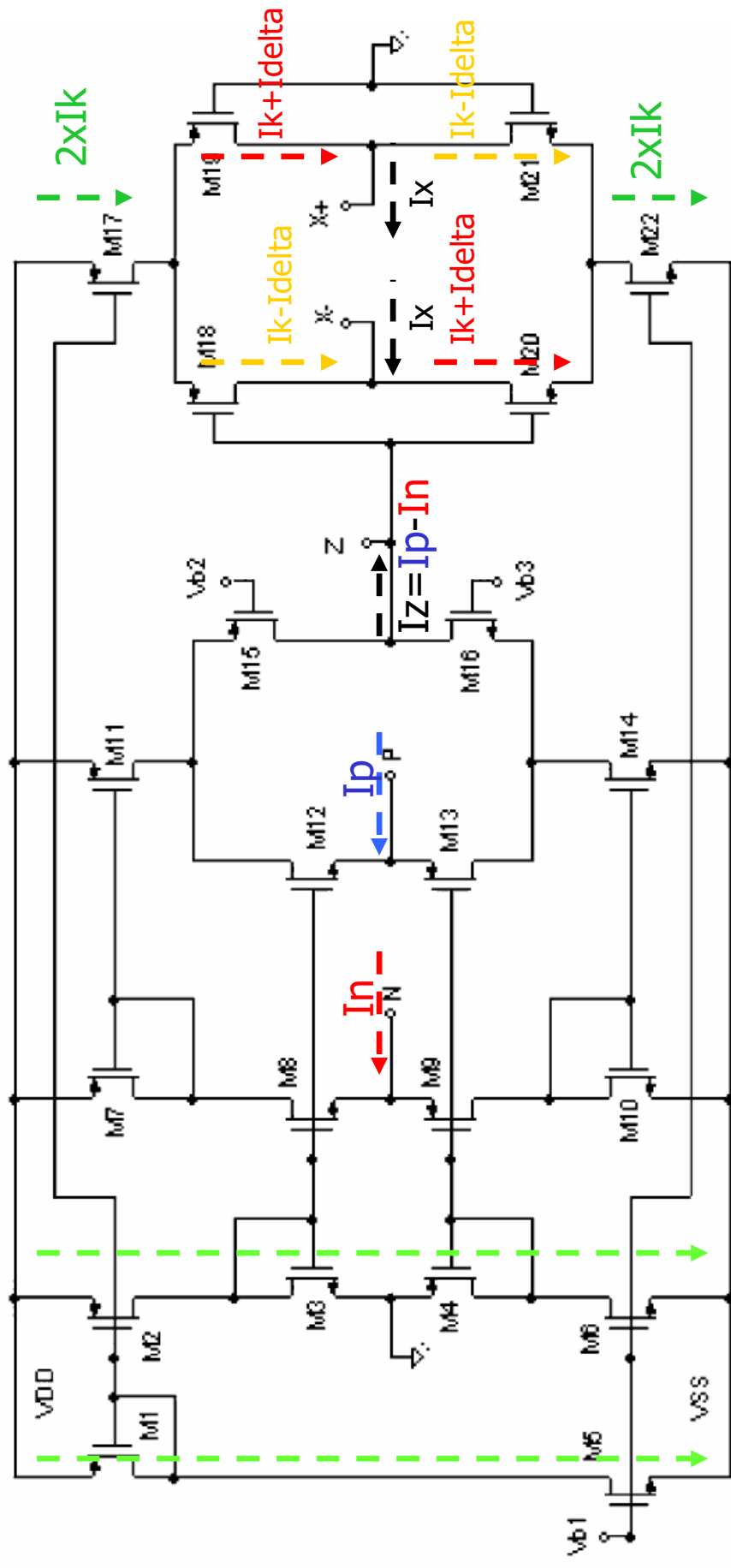


$I_z = I_p - I_n$ bulunur.

CDTA



CDTA'nın iç yapısı



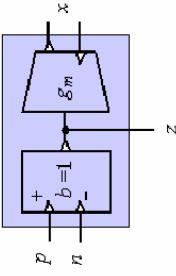
$I_x = 2I_{\Delta} \rightarrow$ CDTA'nın eğimi $g = gm_{18} + gm_{20}$ olarak bulunur.

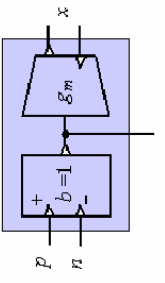
CDTA'nın tasarımı

- CDTA elemanı MIETEC 0.5um proses ile tasarlanmıştır.
- +-2.5V gerilim aralığında çalışmaktadır.
- SPICE modelleri ile benzetim yapılmıştır.
- Boyutlar;

$$\begin{aligned}M1 &= 8 \mu\text{m}/1 \mu\text{m} & M12 &= 20 \mu\text{m}/1 \mu\text{m} \\M2 &= 8 \mu\text{m}/1 \mu\text{m} & M13 &= 20 \mu\text{m}/1 \mu\text{m} \\M3 &= 20 \mu\text{m}/1 \mu\text{m} & M14 &= 30 \mu\text{m}/1 \mu\text{m} \\M4 &= 20 \mu\text{m}/1 \mu\text{m} & M15 &= 30 \mu\text{m}/1 \mu\text{m} \\M5 &= 8 \mu\text{m}/1 \mu\text{m} & M16 &= 30 \mu\text{m}/1 \mu\text{m} \\M6 &= 8 \mu\text{m}/1 \mu\text{m} & M17 &= 50 \mu\text{m}/1 \mu\text{m} \\M7 &= 30 \mu\text{m}/1 \mu\text{m} & M18 &= 45 \mu\text{m}/1 \mu\text{m} \\M8 &= 40 \mu\text{m}/1 \mu\text{m} & M19 &= 45 \mu\text{m}/1 \mu\text{m} \\M9 &= 40 \mu\text{m}/1 \mu\text{m} & M20 &= 10 \mu\text{m}/1 \mu\text{m} \\M10 &= 30 \mu\text{m}/1 \mu\text{m} & M21 &= 10 \mu\text{m}/1 \mu\text{m} \\M11 &= 30 \mu\text{m}/1 \mu\text{m} & M22 &= 50 \mu\text{m}/1 \mu\text{m}\end{aligned}$$

CDTA





Tasarlanan CDTA'nın simülasyon sonuçları

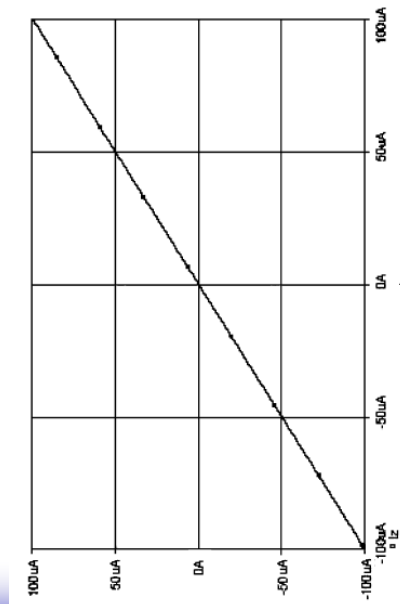
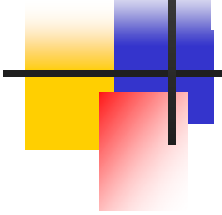


Fig. 3. Current transfer from p to Z.

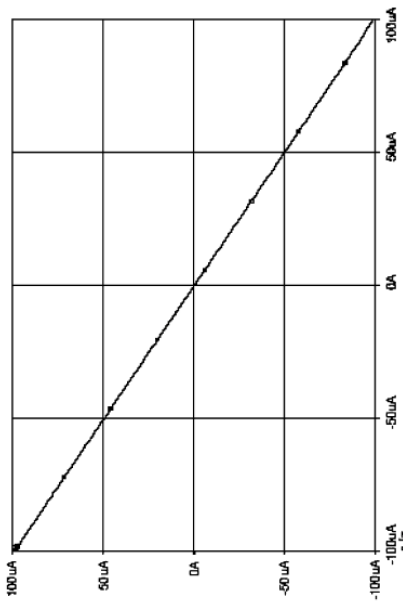
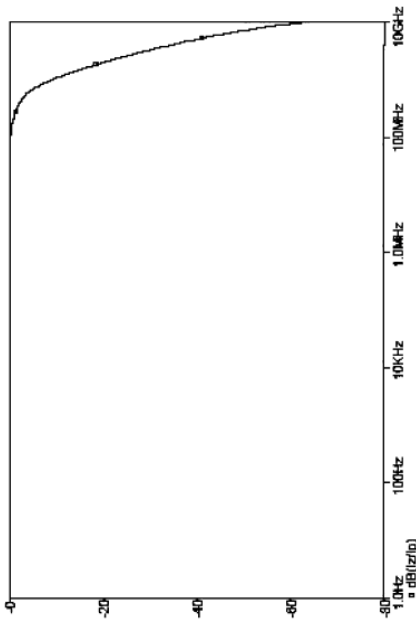
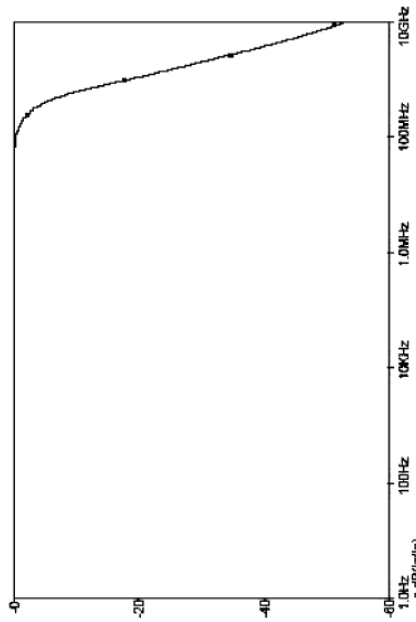
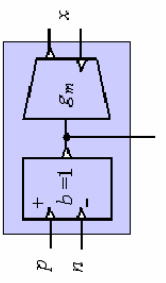


Fig. 4. Current transfer from n to Z.

Fig. 5. Variation of I_Z/I_P .Fig. 6. Variation of I_Z/I_n .



Tasarlanan CDTA'nın simülasyon sonuçları

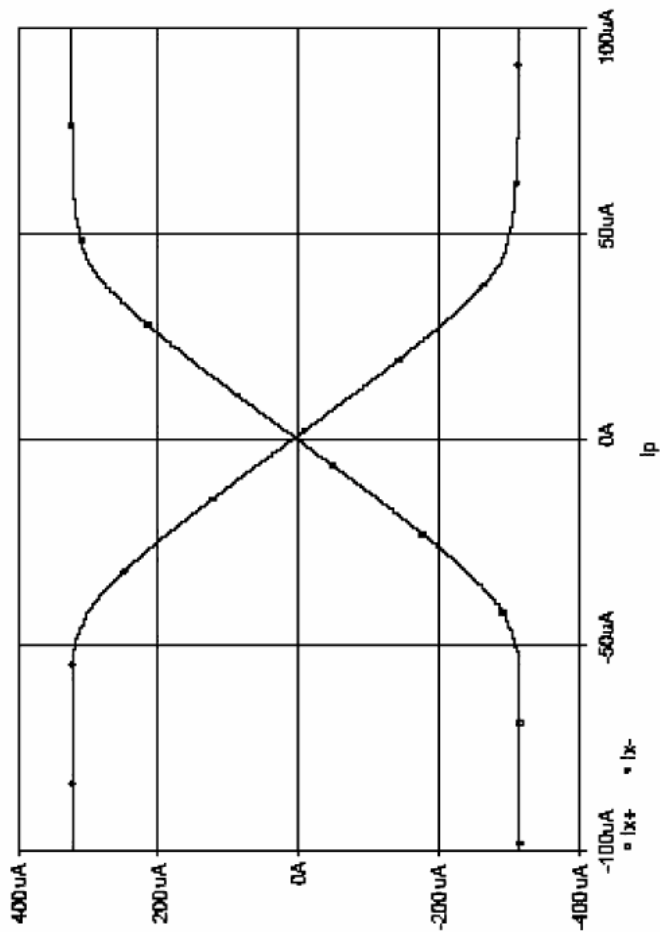


Fig. 7. Variation of the current of $x-$ and $x+$ terminals with respect to I_p input current (z terminal is loaded with a $20\text{k}\Omega$ impedance).

I_z/I_p (-3 dB) bandwidth (MHz)	497
I_z/I_n (-3 dB) bandwidth (MHz)	301
P input resistance	$1.24\text{k}\Omega$ at 100 MHz
N input resistance	834Ω at 100 MHz
Power consumption (mW)	4
Transconductance (g) ($\mu\text{A}/\text{V}$)	400

Filtre Tasarımı

- Video işlemde için kullanılacak (anti-aliasing), ITU BT601 standartına uygun, eliptik LPF tasarımlı istenmektedir.
- İlk olarak bu özellilikle tasarlanması gereken filtrenin kaçinci derecen olduğu çıkarılmış, ilk olarak pasif elemanlar ile滤re tasarılmıştır. "Operational Simulation" yöntemi ile aktif devreye geçirilmiştir.

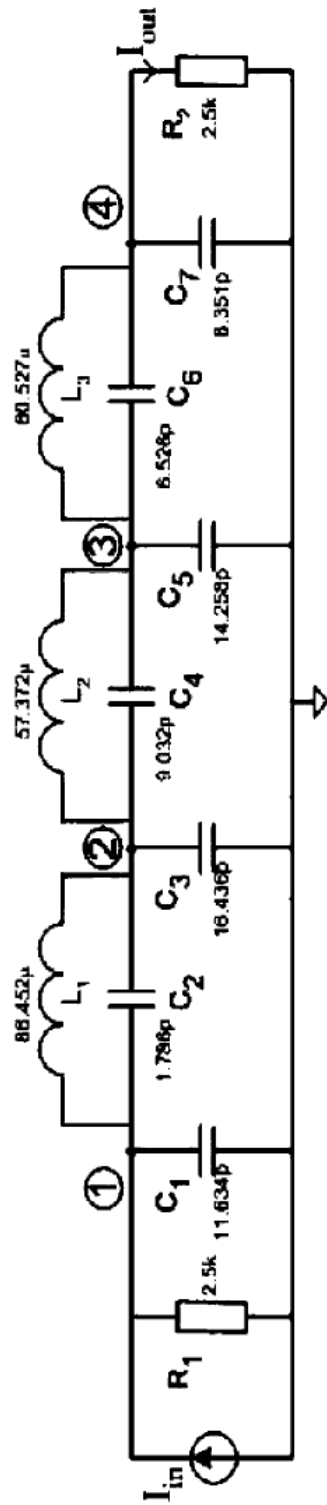


Fig. 8. Seventh-order passive elliptic low-pass filter.

Filtre Tasarımı

- Pasif elemanlar ile yapılan filtredeki düşümlerin gerilimlerini ve akımları oluşturabilecek CDTA elemanları yerleştirilmiştir.
- Endüktansların gerçekleştirilebilmesi için CDTA elemanından yaralanmıştır.

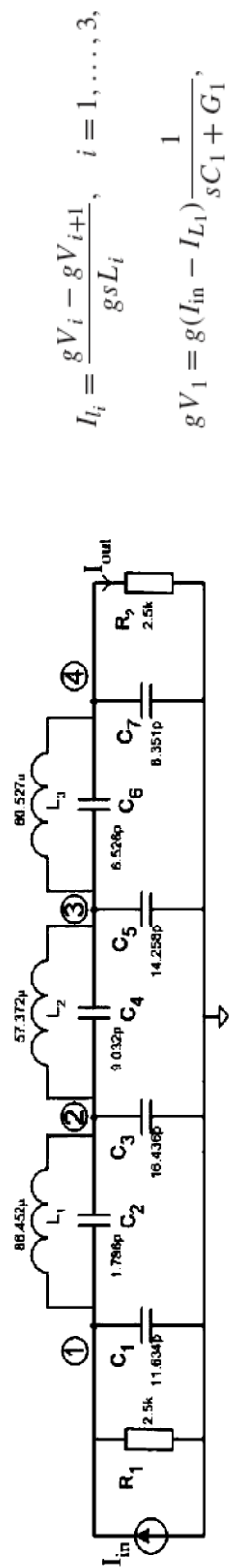


Fig. 8. Seventh-order passive elliptic low-pass filter.

$$I_{L_i} = \frac{gV_i - gV_{i+1}}{g_s L_i}, \quad i = 1, \dots, 3,$$

$$gV_1 = g(I_{in} - I_{L_1}) \frac{1}{sC_1 + G_1},$$

$$gV_{i+1} = g(I_{L_i} - I_{L_{i+1}}) \frac{1}{sC_{2i+1}}, \quad i = 1, 2,$$

$$gV_4 = g(I_{L_3}) \frac{1}{sC_7 + G_2},$$

$$C_{L_i} = L_i g^2, \quad i = 1, \dots, 3.$$

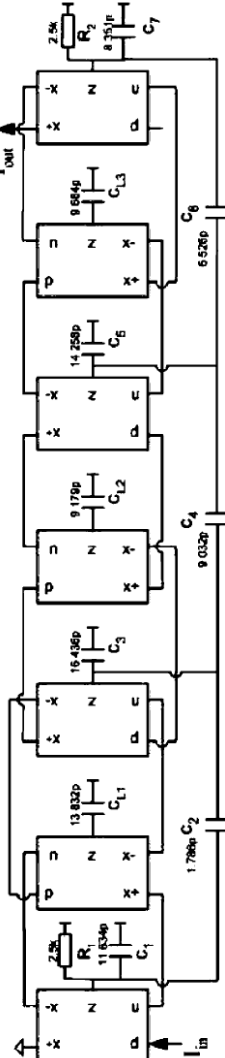


Fig. 9. Seventh-order passive elliptic low-pass filter employing CDTAs.

Filtre Tasarımının Sonuçları

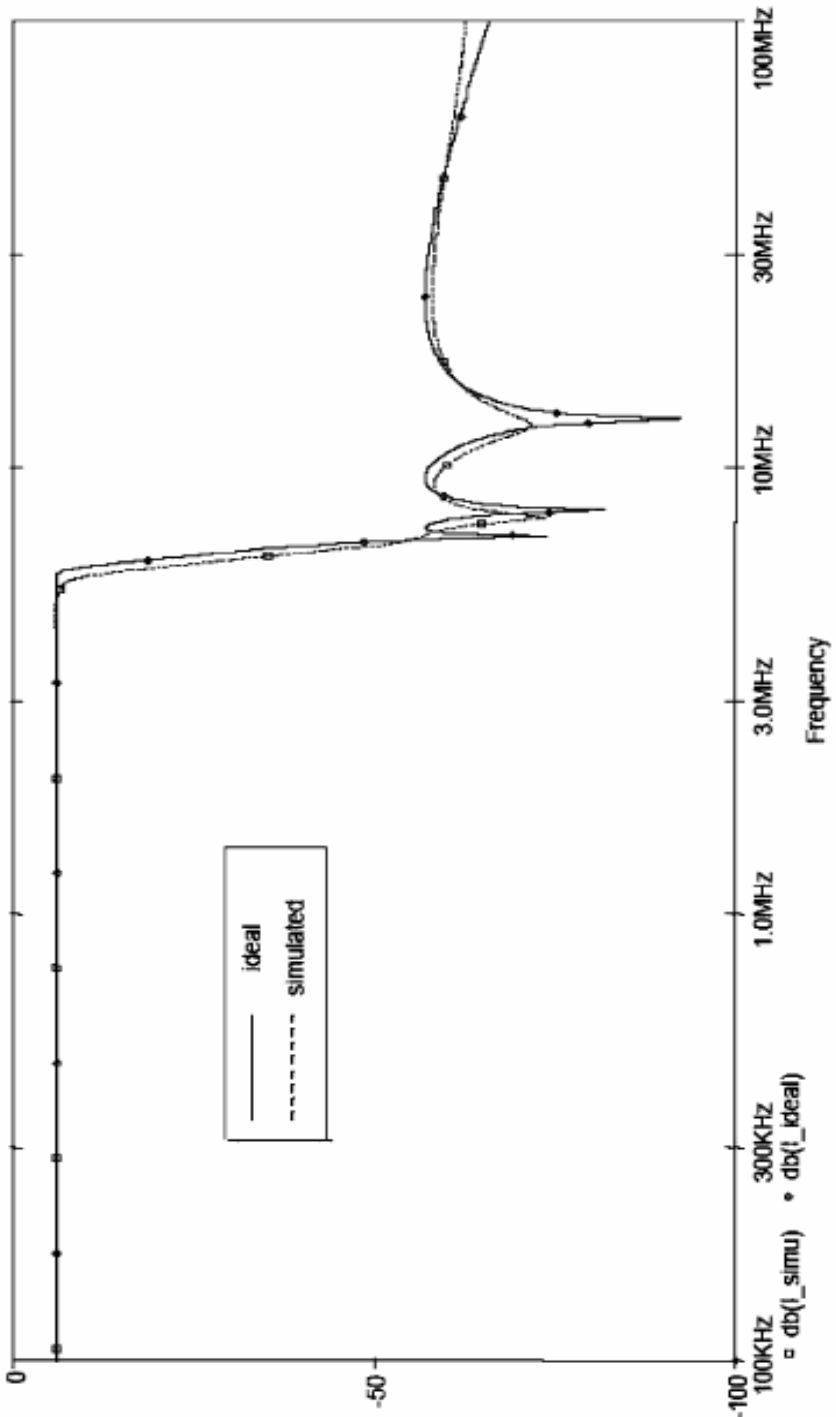


Fig. 11. Ideal and simulated filter responses.

Filtre Tasarımının Sonuçları

- ITU BT601 standardında, grup gecikmesinin 5ns den küçük olması tavsiye edilmektedir.
- Bu değer dengeleyici (equalizer) olmadan yapılabilmesi mümkün değildir. Dolayısıyla bu filtre ardından tüm-geçiren bir süzgeç bağlanması gerekmektedir.
- Birim basamak cevabı yeterli çınlama seviyeleri yüzünden video kalitesi için yeterli değildir. Bu çınlama dengeleyiciler ile ayarlanmalıdır.
- Bir önceki karakteristikte görüldüğü üzere 0dB çekilecek bir kazanç katına ihtiyaç vardır.

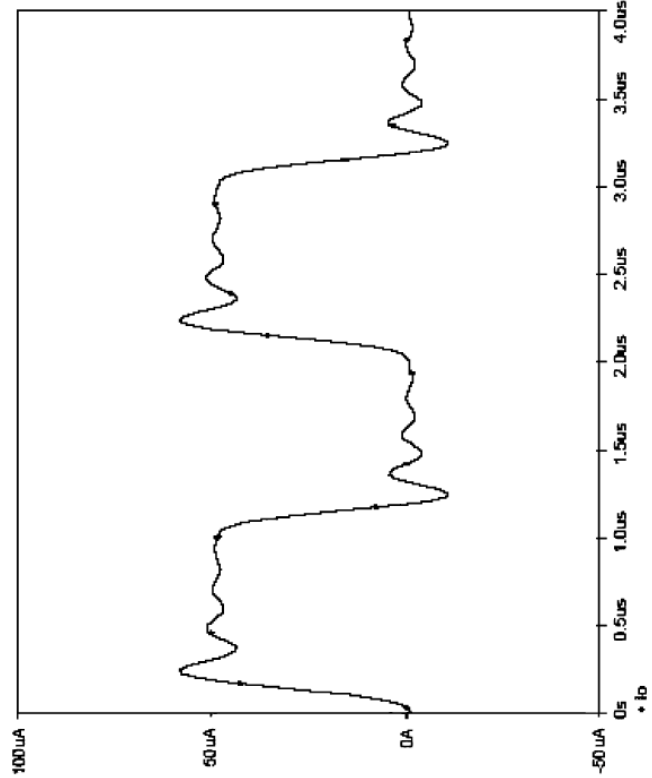


Fig. 10. Step response of the filter.

Filtre Tasarımının Sonuçları

- $I_{in} < 200\mu A$ @ $f = 2\text{MHz} \rightarrow < \% 2\text{THD}$
- $R_L < 15.7\text{k}\Omega$ @ $f = 2\text{MHz}$, $I_{in} = 100\mu A \rightarrow < \% 2\text{THD}$

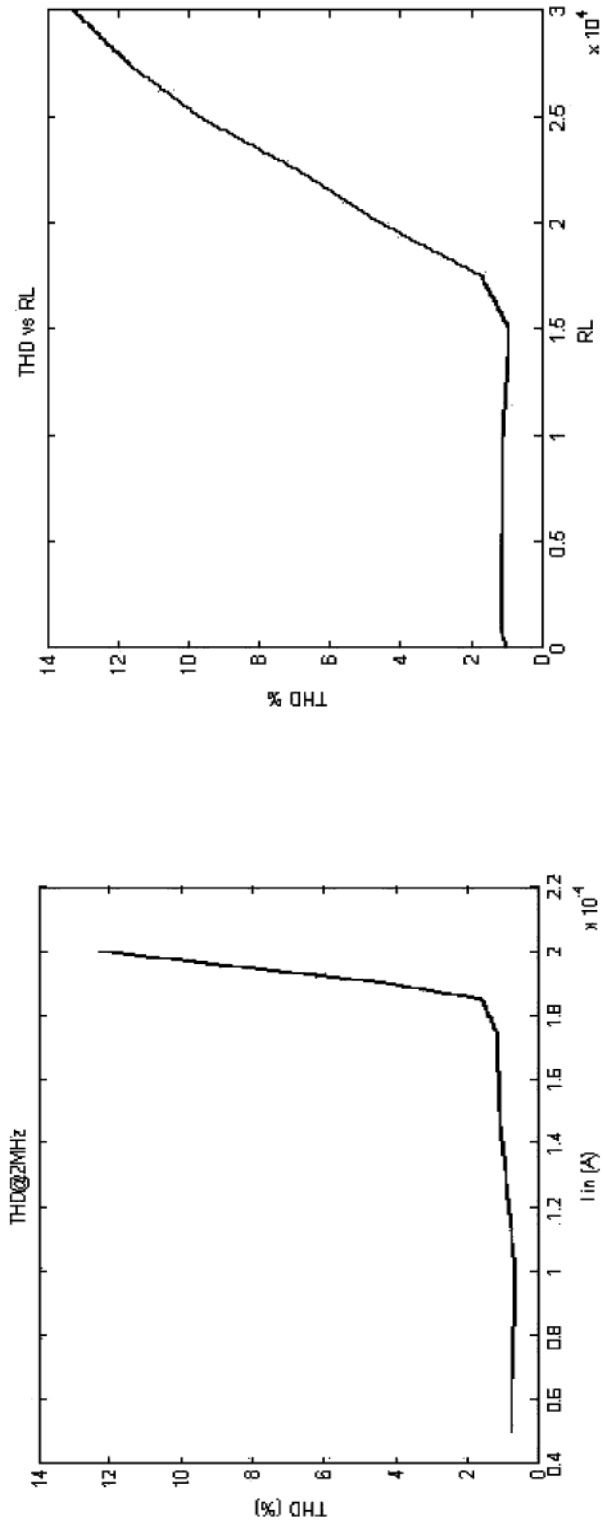


Fig. 12. Total harmonic distortion of the filter.

Fig. 13. Total harmonic distortion versus load resistance.

Sonuç

- CMOS CDTA elemanı kullanımı-tasarımı basit ve yüksek frekanslarda çalışmaya uygun bir elemandır.
- Filtre tasarımının tam anlamıyla ITU-BT601 standardına uyabilmesi için düzeltme bloklarına ihtiyacı vardır.

Referanslar

- A.Uygur, H. Kuntman, 'Seventh order elliptic video filter with 0.1dB pass band ripple employed CMOS CDTAs' accepted for publication in AEU: International Journal of Electronics and Communications, A05-290
- D. Biolek, T. Gubek 'New Circuit Elements for Current-Mode Signal processing', <http://147.229.144.23/clanky/04028/english.htm>